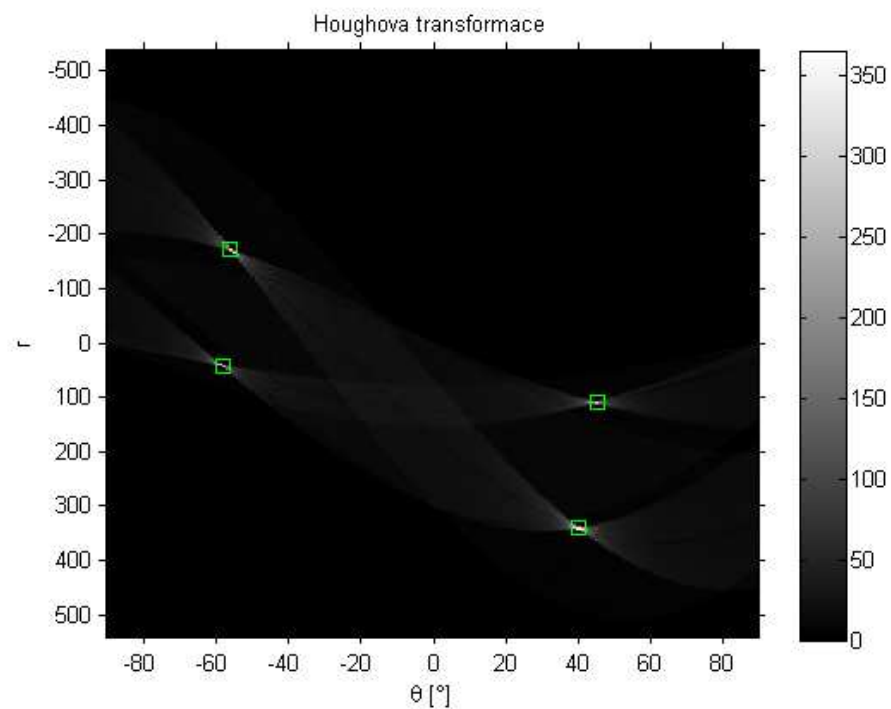


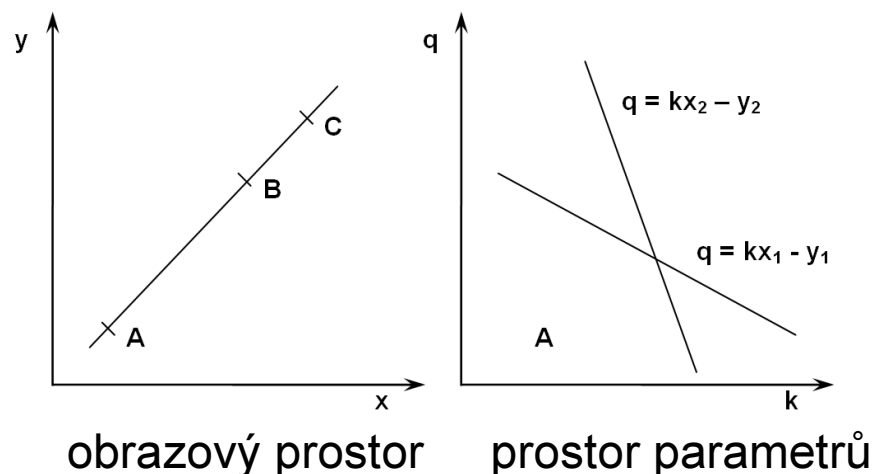
# Speciální komprese a kódování obrazových dat

doc. Ing. Josef Chaloupka, Ph.D.



# Houghova transformace (1)

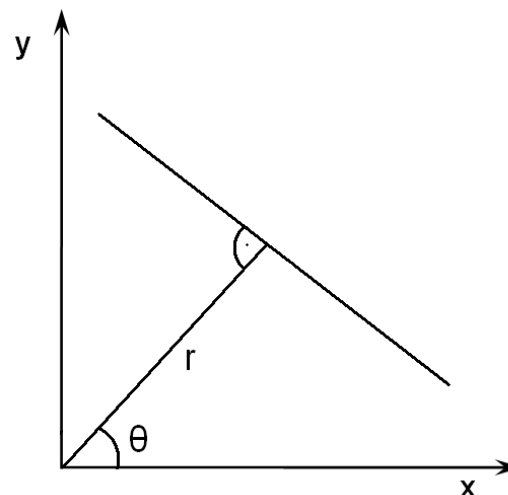
- Pokud jsou v obraze >>> tvar a velikost jsou známy, lze je parametricky popsat
- Původní metoda pro detekci přímek, dnes detekce oblastí, musí být známy rovnice jejich hraničních křivek
- Data mohou být nedokonalá, necitlivost metody na šum v obraze
- Přímka dána dvěma body  $A = (x_1, y_1)$ ,  $B = (x_2, y_2)$ , směrnicový tvar:  
bodem A prochází přímky  $y_1 = kx_1 + q$  a bodem B:  $y_2 = kx_2 + q$ , patent 1962  
v prostoru parametrů mají oba body (tvořící jednu přímku) stejné parametry  $k, q$   
libovolný bod C ležící na přímce AB >>> přímka bude mít parametry  $k, q$  jako u AB



# Houghova transformace (2)

- Rovnice přímky  $y = kx + q$ ;  $k$  – směrnice přímky  $\rightarrow$  celá množina reálných čísel  $\rightarrow$  transformaci nelze prakticky realizovat

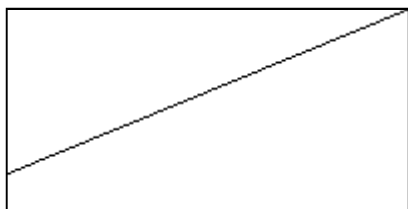
- Používá se: normálový tvar 1971:  
 $r = x \cdot \cos(\theta) + y \cdot \sin(\theta)$



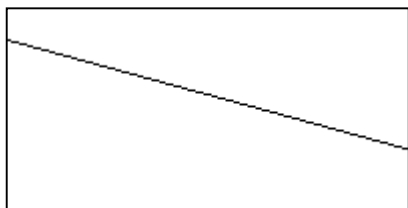
- $\theta$  nabývá hodnot 0 až  $360^\circ$   $\rightarrow$   $r$  je kladné; nebo 0 až  $180^\circ$   $\rightarrow$   $r$  může být i záporné
- Před provedením transformace se definuje akumulátor (zásobník) ve kterém jsou parametry popisující objekt(y), pro úsečku  $r = 0$  a  $\theta = 0$
- Vstupní binární obrázek se prochází po řádcích (a sloupcích), pokud je nalezena hodnota 1 tak se za proměnou  $\theta$  dosazují všechny hodnoty (0 až  $360$ ) a dopočítává se  $r$ , na vypočtené pozice  $r$ ,  $\theta$  se přičte do akumulátoru 1
- Parametry se vyberou z lokálních maxim akumulátoru, nelze zjistit počátek a konec

# Houghova transformace (3)

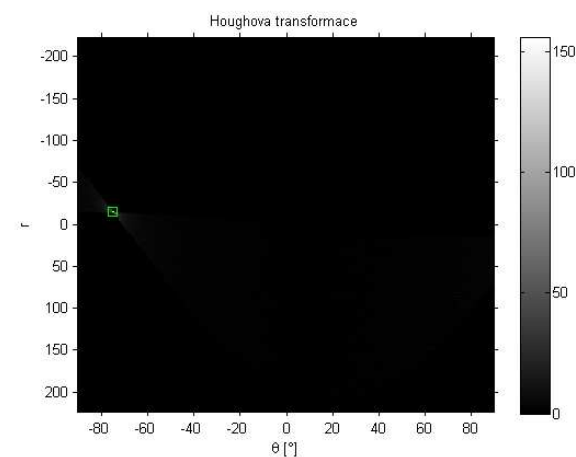
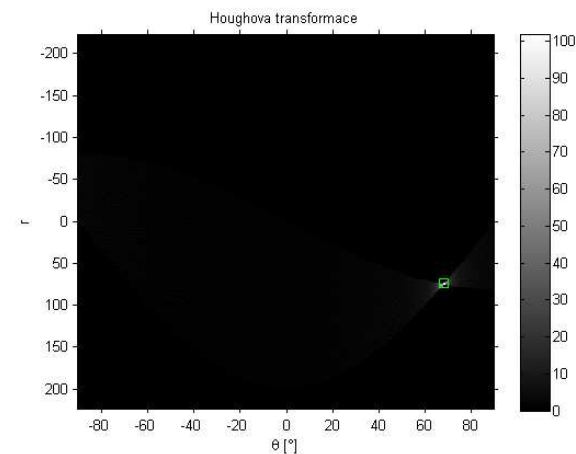
## ● Výsledky:



$$r = 74,33 \quad \theta = 68^\circ$$

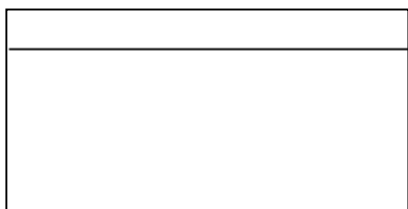


$$r = -15,07 \quad \theta = 75^\circ$$



# Houghova transformace (4)

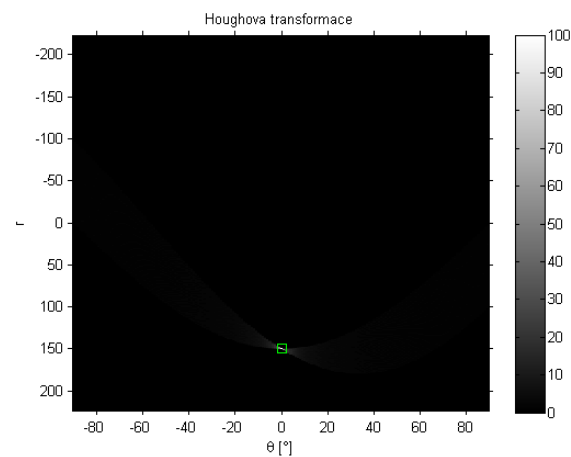
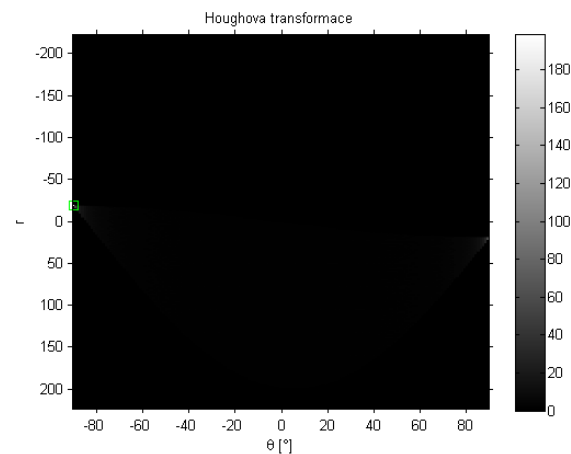
## ● Výsledky:



$$r = -19,09 \quad \theta = -90^\circ$$



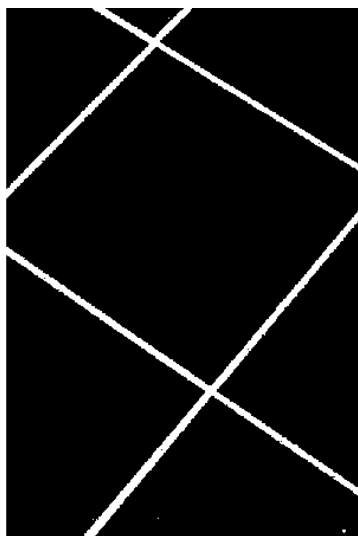
$$r = 149,67 \quad \theta = 0^\circ$$



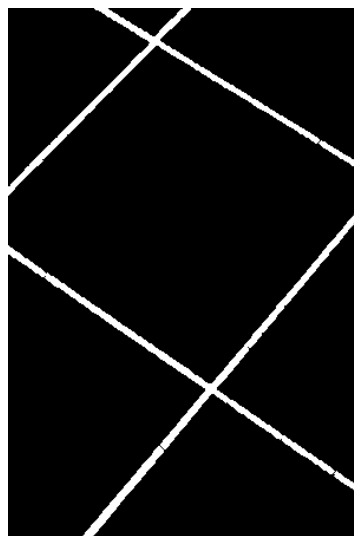
# Houghova transformace (5)



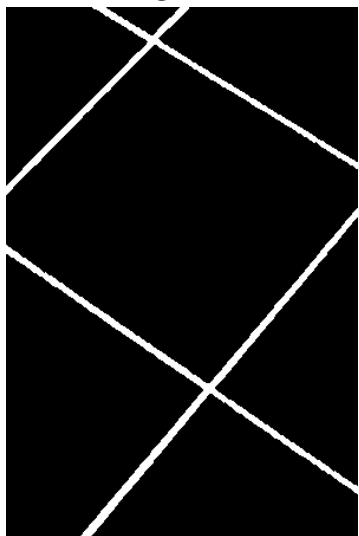
originál



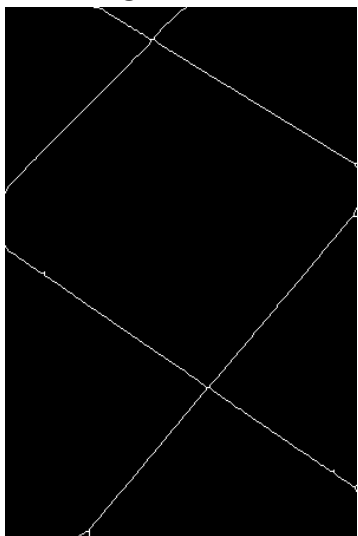
segmentace



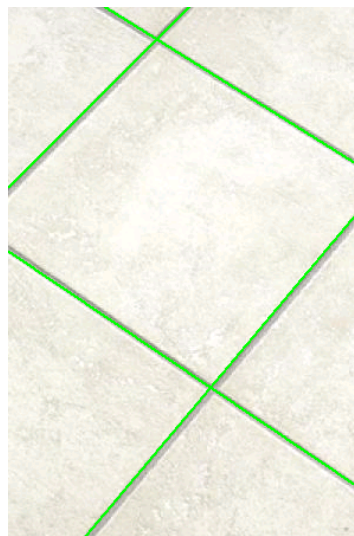
otevření



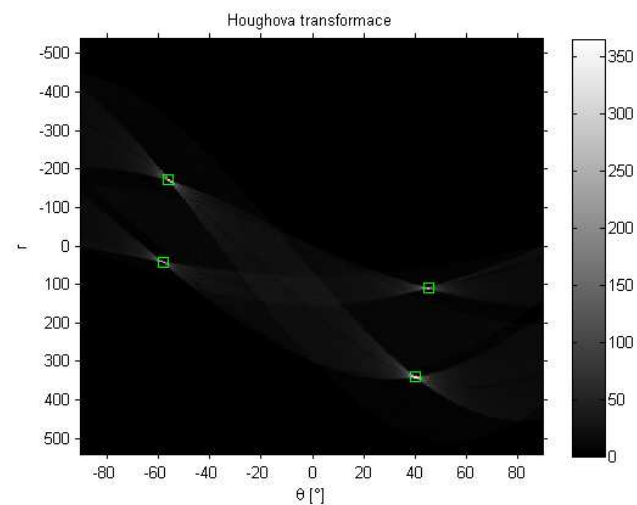
uzavření



skelet



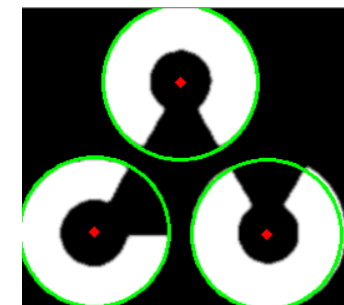
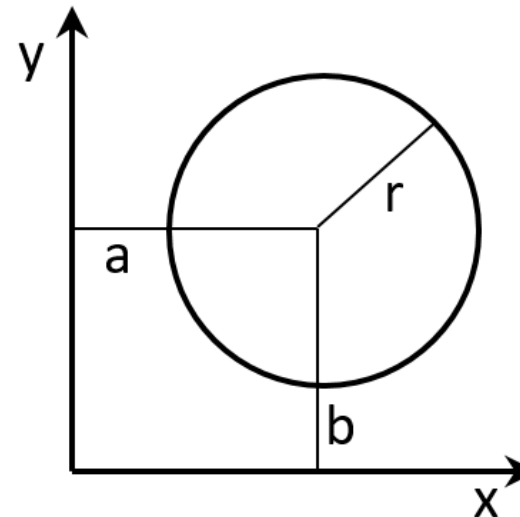
výsledek



# Houghova transformace (6)

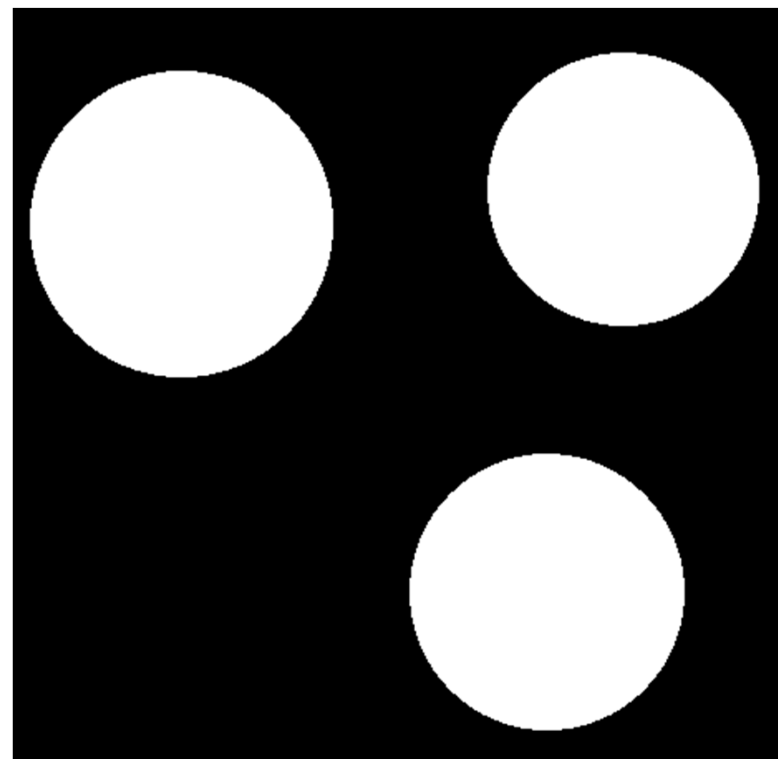
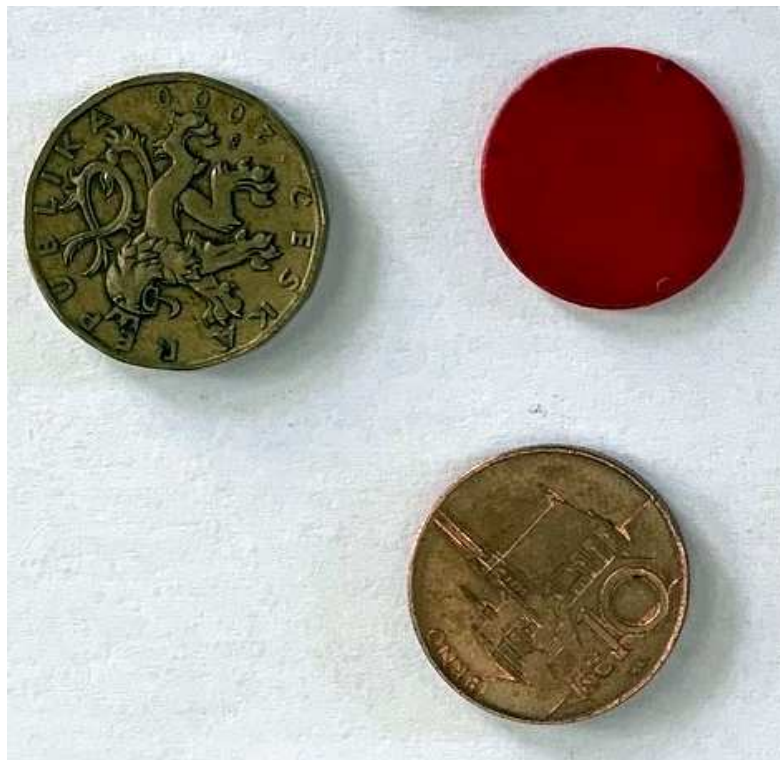
- Detekce kružnice  $(x-a)^2 + (y-b)^2 = r^2$
- Prostor parametrů  $r, a, b$
- $r$  větší než jsou rozměry obrázku, střed mimo
- omezení  $r$  – maximální a minimální velikost
- Maxima jsou neostré

```
import cv2
import numpy as np
img = cv2.imread('opencv_logo.png',0)
img = cv2.medianBlur(img,5)
cimg = cv2.cvtColor(img,cv2.COLOR_GRAY2BGR)
circles = cv2.HoughCircles(img,cv2.HOUGH_GRADIENT,1,20,
                           param1=50,param2=30,minRadius=0,maxRadius=0)
circles = np.uint16(np.around(circles))
for i in circles[0,:]:
    # draw the outer circle
    cv2.circle(cimg,(i[0],i[1]),i[2],(0,255,0),2)
    # draw the center of the circle
    cv2.circle(cimg,(i[0],i[1]),2,(0,0,255),3)
cv2.imshow('detected circles',cimg)
```



[\\*https://opencv-python-tutroals.readthedocs.io/en/latest/py\\_tutorials/py\\_imgproc/py\\_houghcircles/py\\_houghcircles.html](https://opencv-python-tutroals.readthedocs.io/en/latest/py_tutorials/py_imgproc/py_houghcircles/py_houghcircles.html)

# Komprese binárních obrazů – značkování (1)



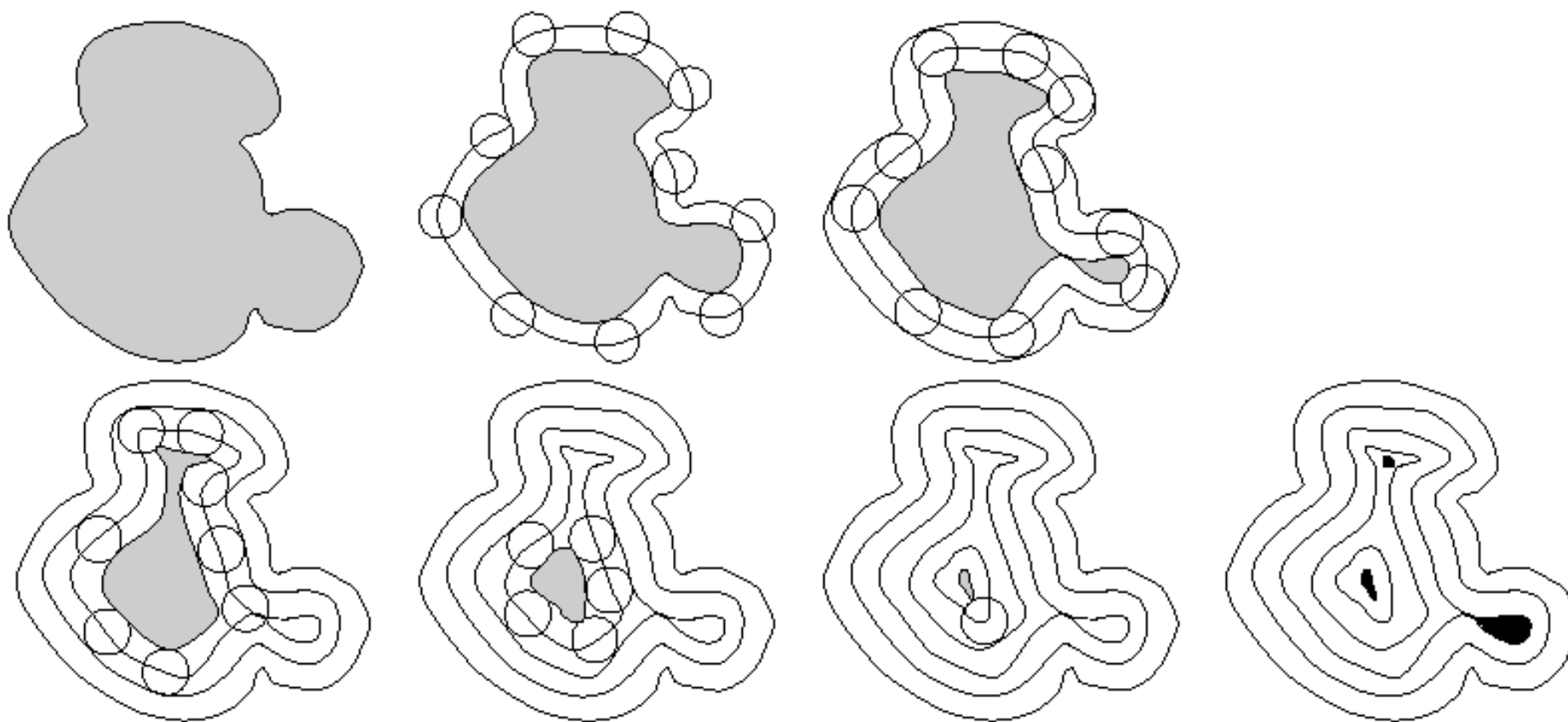
Uložení značek (x, y, r) -> ((100,130,90),(370,110,80),(320,360,80)) Uint 16 -> 18B

Originální obraz -> 470 x 460 px, Uint8 -> 216 200B

Kompresní poměr: 0,008%



## Komprese binárních obrazů – značkování (2)



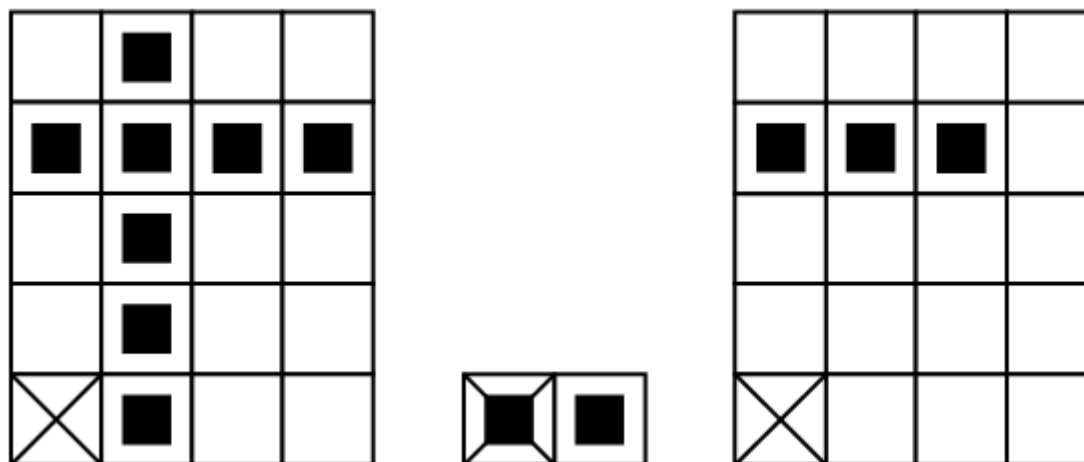
konečná eroze tvořena rezidui oblastí >>> oblastmi těsně před zmizením při opakovaných erozích  
(skripta Zpracování signálů a obrazů – Sedláček, Hlaváč, FEL ČVUT)

# Kompresa binárních obrazů – značkování (3)

- **Eroze**  $\ominus$   $\ggg$  duální operace k dilataci, dilatace ani eroze nejsou invertovatelné, skládá dvě množiny:

$$X \ominus B = \{ p \in \varepsilon^2 : p + b \in X \text{ pro každé } b \in B \}$$

- Pro každý bod obrazu  $p$  se ověřuje, zda výsledek  $p + b$  leží v  $X$



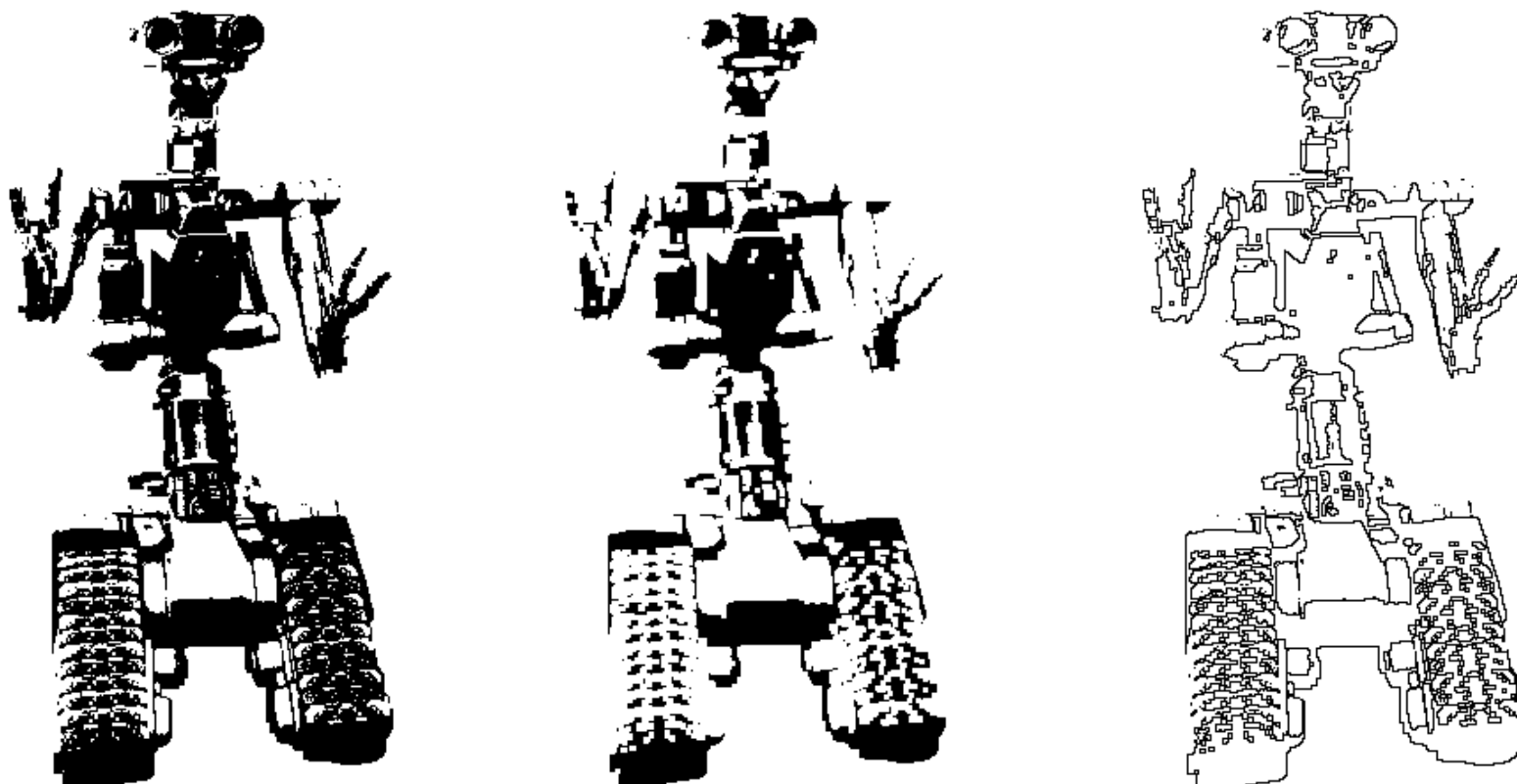
$$X = \{(1,0), (1,1), (1,2), (0,3), (1,3), (2,3), (3,3), (1,4)\}$$

$$B = \{(0,0), (1,0)\}$$

$$X \ominus B = \{(0,3), (1,3), (2,3)\}$$

# Komprese binárních obrazů – značkování (4)

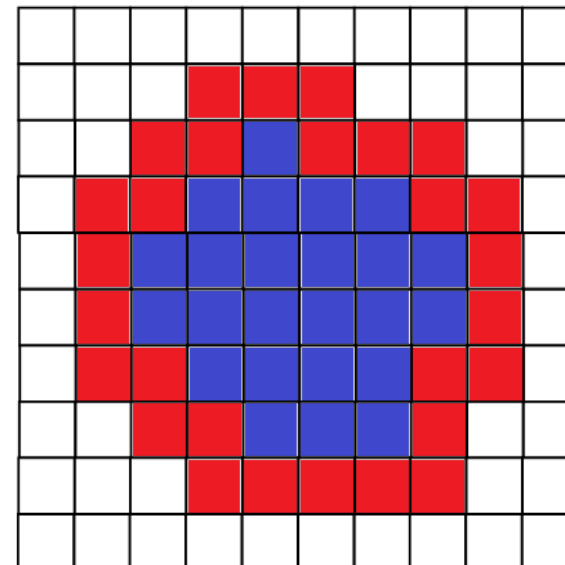
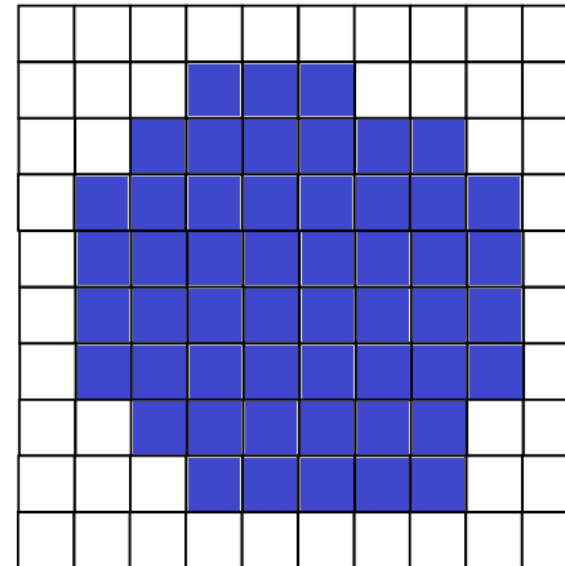
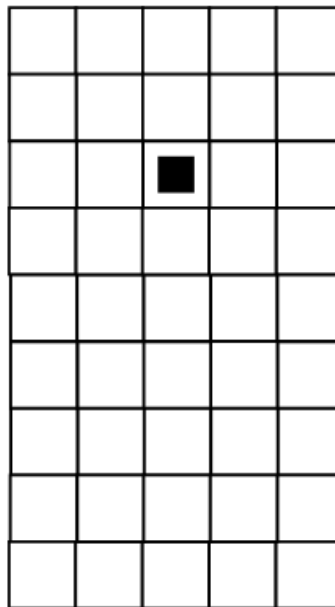
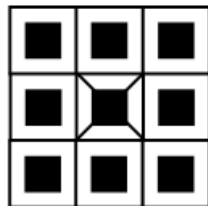
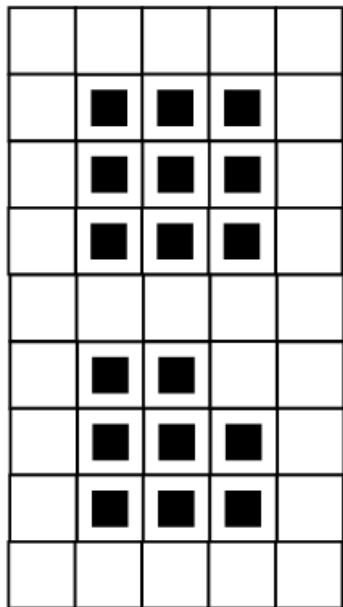
- **Eroze** >>> použití >>> zjednodušení struktury objektů, složitější objekt se rozdělí na několik jednodušších



eroze – isotropický strukturní element 3x3 - isotropické smrštění objektů, zmizely čáry a body tloušťky 1, obrys objektů >>> odečtení erodovaného obrázku od původního obrázku

# Kompresce binárních obrazů – značkování (5)

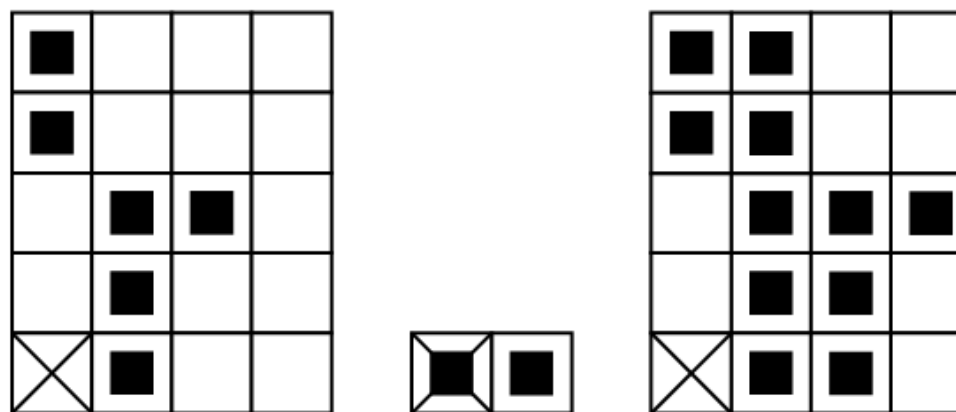
## ● Eroze - značkování



# Kompresa binárních obrazů – značkování (6)

- **Dilatace**  $\oplus$  >>> skládá body dvou množin pomocí vektorového součtu,  $X \oplus B$  je bodovou množinou všech možných vektorových součtů pro dvojice pixelů, pro jeden z  $X$  a jeden z  $B$

$$X \oplus B = \{p \in \varepsilon^2 : p = x + b, x \in X, b \in B\}$$



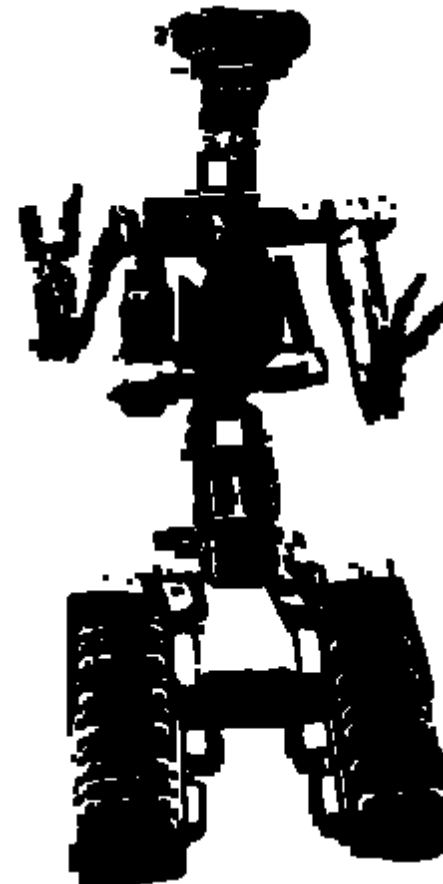
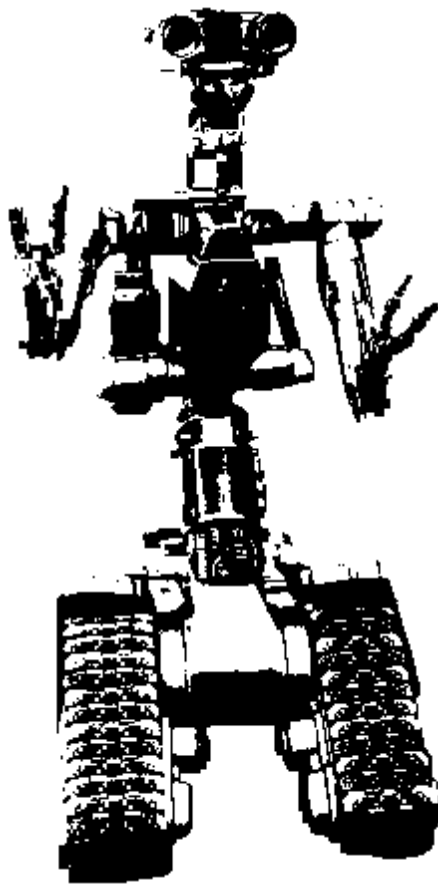
$$X = \{(1,0), (1,1), (1,2), (2, 2), (0,3), (0,4)\}$$

$$B = \{(0,0), (1,0)\}$$

$$X \oplus B = \{(1,0), (1,1), (1,2), (2, 2), (0,3), (0,4), (2,0), (2,1), (2,2), (3,2), (1,3), (1,4)\}$$

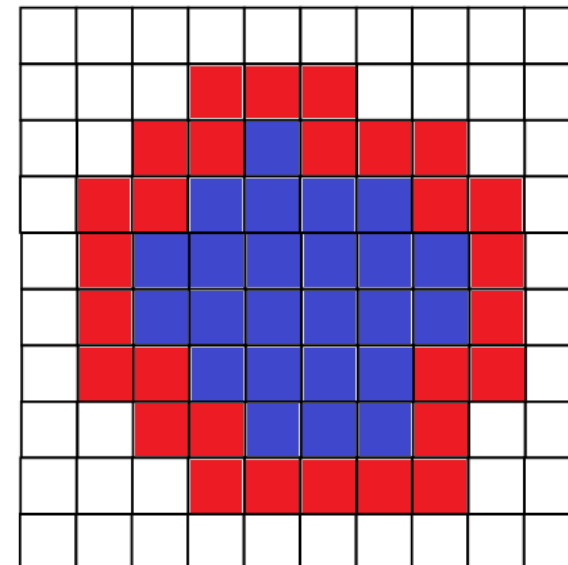
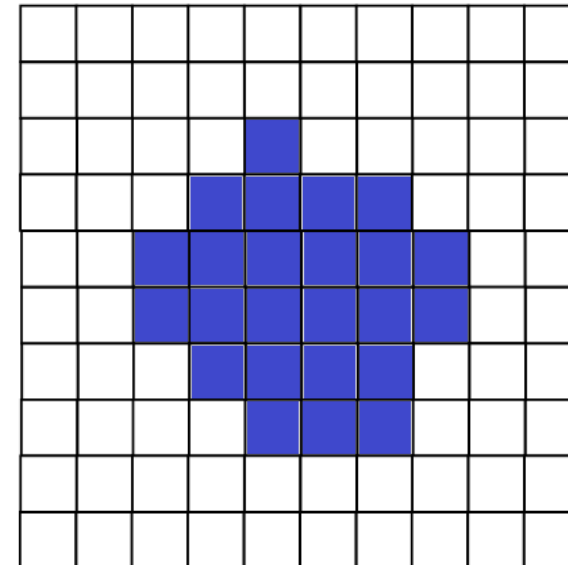
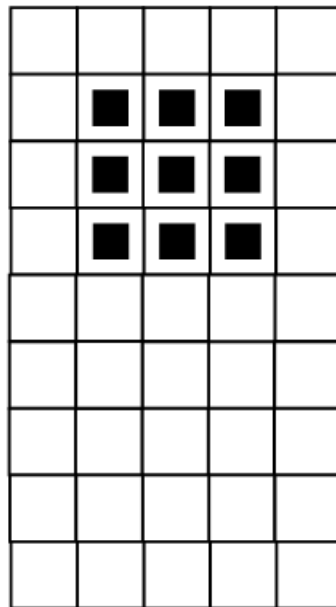
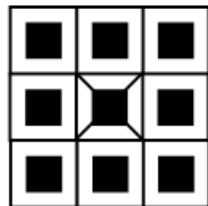
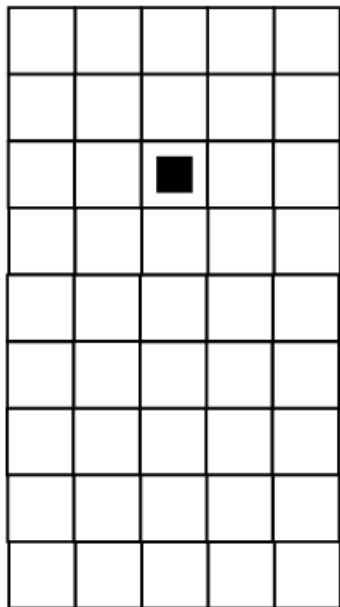
# Kompresa binárních obrazů – značkování (7)

- **Dilatace** + **isotropický** (transformace se chová stejně ve všech směrech) **strukturní element** 3x3 (objekty expandují) >>> objekty se rozrostly o jednu "slupku" na úkor pozadí, díry s tloušťku jeden bod se zaplnily



# Kompresce binárních obrazů – značkování (8)

## ● Dilatace - značkování



# GRANULOMETRIE (1)

- Vznik >>> stereologové (matematici snaží se rekonstruovat 3D tvar z řezů), granulum = zrno, analýza materiálů a v **biologii** ..., dovoluje vyvodit informaci o měřítku (bez interpretace obrazu), analýza granulometrického spektra  $\approx$  analýza frekvenčního spektra
- Postupné prosívání sítím s rostoucí velikostí děr >>> vstup >>> hromada kamenů (granulí) o různých velikostech >>> kolik kamenů patří do jednotlivých tříd daných velikostí, výsledek >>> diskrétní funkce (**granulometrické spektrum** (křivka)) >>> velikost děr v sítu (nezávisle proměnná), počet kamenů příslušné velikosti (závisle proměnná), binární mat. morfologie >>> prosívání = opakované otevřením strukturním elementem s rostoucí velikostí
- Analogie - frekvenční spektrum >>> jak přispívají jednotlivé harmonické signály
- Třída transformací ( $\Psi = (\psi_\lambda)$ ) závislých na parametru  $\lambda \geq 0$  je granulometrií, když:

$$\begin{aligned} \forall \lambda \geq 0, \quad & \psi_\lambda \text{ je rostoucí, idempotentní} \\ & \psi_\lambda \text{ je antiextenzivní} \\ \forall \lambda \geq 0, \mu \geq 0, \quad & \psi_\lambda \psi_\mu = \psi_\mu \psi_\lambda = \psi_{\max(\lambda, \mu)} \end{aligned}$$



# GRANULOMETRIE (2)

- Otevření vzhledem k  $\lambda B = \{\lambda b, b \in B\}$ ,  $\lambda \geq 0$  tvoří granulometrii,  $B$  ... konvexní strukturní element
- Granulometrie pro diskrétních binární obrazy  $\ggg$  posloupnost otevření  $\psi_n$ ,  $n$  ... přirozené číslo  $n \geq 0$ , výsledek dalšího otevření v posloupnosti je menší než předchozí  $\ggg$  nakonec nic nezbyde, krok prosívání charakterizuje míra  $m(X)$  na množině (obrazu)  $X$  (2D - počet pixelů, 3D – počet voxelů), rychlost prosívání charakterizuje granulometrické spektrum

- **Granulometrická funkce** (křivka, spektrum) množiny  $X$ :

$$PS_{\psi}(X)(n) = m(\psi_n(X)) - m(\psi_{n-1}(X)), \forall n > 0$$

- Posloupnost otevření  $\Psi(X)$ ,  $n \geq 0$ , je klesající, tj.  $(\psi_0(X) \supseteq \psi_1(X) \supseteq \psi_2(X) \supseteq \dots)$
- **Granulometrické spektrum**  $PS_{\psi} \ggg$  binární obraz se převede na šedotónový obraz pomocí granulometrické funkce  $G_{\psi}(X)$ ,  $PS_{\psi} \ggg$  vypočet jako histogram granulometrické funk.  $G_{\psi}(X)$

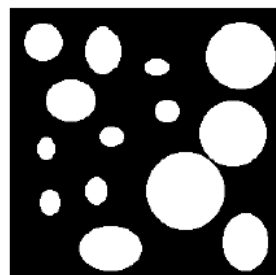
# GRANULOMETRIE (3)

- Granulometrické funkce  $G_\psi(X)$  binárního obrazu  $X \ggg$  zobrazuje každý pixel  $x \in X$  do velikosti prvního  $n$ , pro které  $x \notin \psi_n(X)$

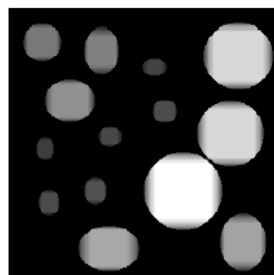
$$x \in X, G_\psi(X)(x) = \min \{n > 0, x \notin \psi_n(X)\}$$

- granulometrické spektrum  $PS_\psi$  binárního obrazu  $X$

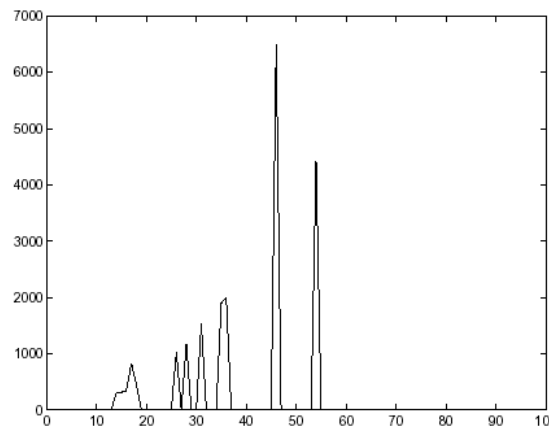
$$\forall n > 0, PS_\psi(X)(n) = \text{card}\{p, G_\psi(X)(p) = n\} \quad \text{card ... kardinalita množiny}$$



(a)



(b)



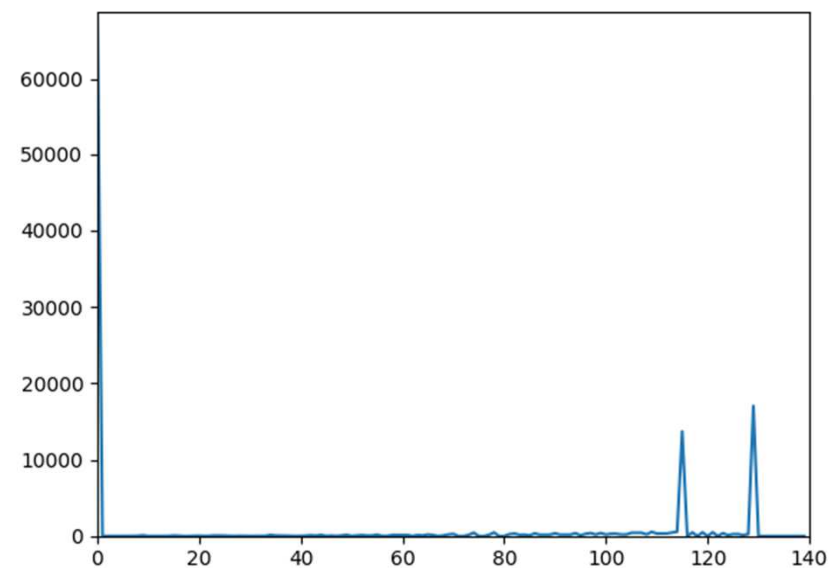
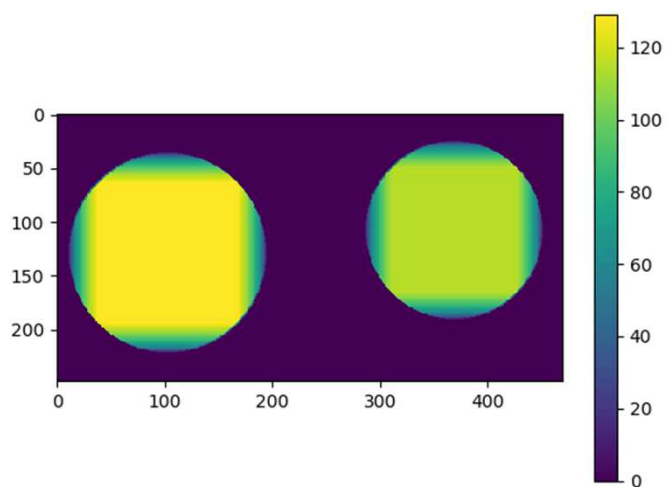
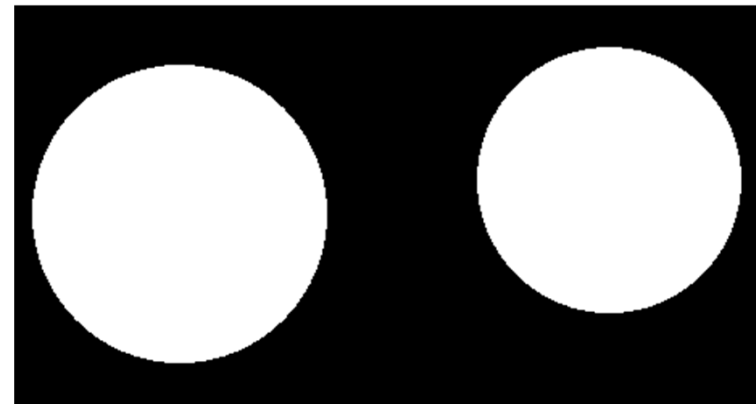
(c)

(P. Kodl, Výzkumné centrum Rockwell Automation, Praha) (SZSO)  
otevření čtvercovým strukturním elementem (od  $2 \times 2$ ), granulometrické spektrum - tři významnější špičky  $\ggg$  tři převládající velikosti objektů, signály v levé části spektra  $\ggg$  artefakty způsobené diskretizací (euklidovské kruhy  $\ggg$  diskrétními objekty – čtverce)

- Velká výpočetní náročnost urychlení  $\ggg$  použití podlouhlých strukturních elementů a složitějších 2D, které jsou z nich odvozeny  $\ggg$  čtvercový strukturní element  $\ggg$  Minkowského součet horizontálního a vertikálního čárového elementu



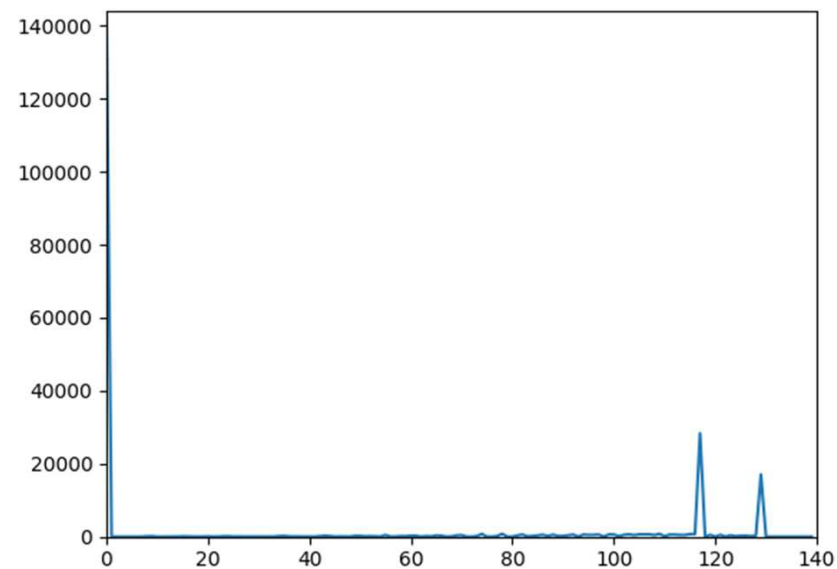
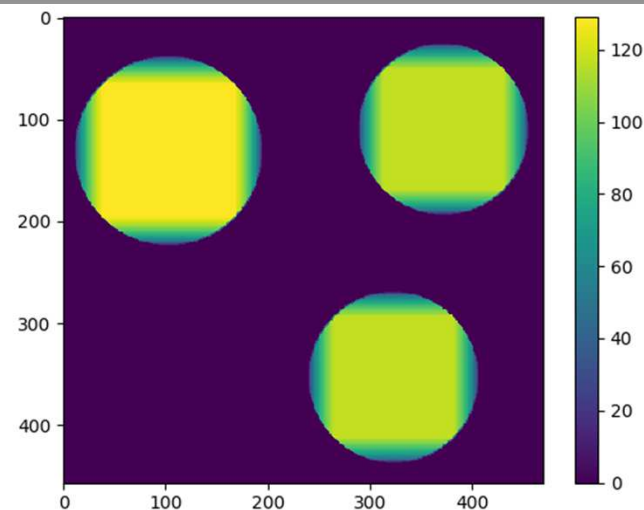
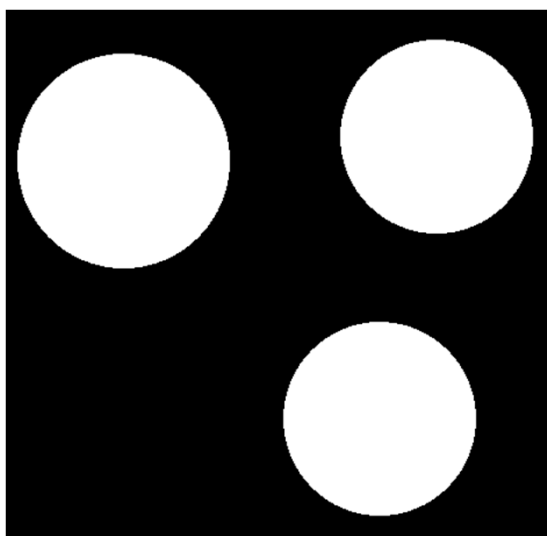
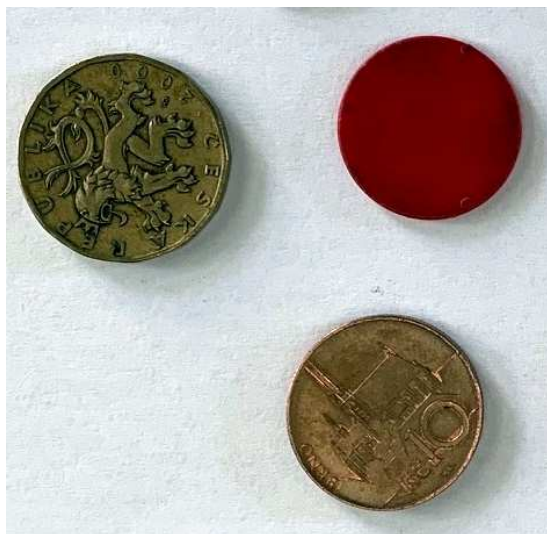
# GRANULOMETRIE (4)



X: 117 x 117 – Y: 14157, res = 1,034

X: 129 x 129 – Y: 17028, res = 1,023

# GRANULOMETRIE (5)



X: 117 x 117 – Y: 28314, res = 2,068; X: 129 x 129 – Y:17028, res = 1,023